

تحلیل پی گستردگی مستقر بر شمع و خاک و مقایسه‌ی دیدگاه سنتی و جدید در طراحی گروه شمع

علی فاخر (دانشیار)

بهاره بادینلو (کارشناس ارشد)

دانشکده فنی - گروه مهندسی عمران، دانشگاه تهران

احسان سوقياني (کارشناس ارشد)

دانشکده مهندسی عمران، دانشگاه تبريز

مجله علمی پژوهشی
آذربایجان شرقی
چهل و چهارمین شماره
ص. ۳۶۴-۳۸۷
آبان ۱۳۹۷

در این تحقیق به بررسی تحلیلی پی گستردگی مستقر بر شمع و خاک و مقایسه‌ی دو دیدگاه سنتی و جدید در طراحی گروه شمع پرداخته شده است. برای تحلیل سه بعدی گروه شمع با سرچشم در تماس با خاک و یا بدون تماس با خاک از نرم افزار FLAC3D استفاده شده است. رفتار گروه شمع، یکبار با در نظر نگرفتن سهم سرچشم و بار دیگر با در نظر نگرفتن سهم آن بررسی شده است. صرف نظر از روش انتخابی برای تحلیل گروه شمع، روش طراحی مناسب گروه شمع بسیار حائز اهمیت است. بنابر این دو دیدگاه سنتی و جدید (استفاده از شمع‌های کاهنده نشست) در طراحی گروه شمع بررسی و مقایسه شده‌اند. در هر دو دیدگاه سهم برابری خاک علاوه بر سهم شمع‌ها در نظر نگرفته شده است. همچنین تأثیر مدول بر شمع خاک و نشست مجاز بر تعداد شمع‌های مورد نیاز در دو روش مذکور بررسی شده است.

afakher@ut.ac.ir
bahar_badinloo@yahoo.com
e_serghini@yahoo.com

واژگان کلیدی: شمع، گروه شمع، تحلیل، طراحی، شمع‌های کاهنده نشست.

مقدمه

صحبت‌سنگی شده و زمان بر بودن استفاده از آنها. اگرچه در برخی از ساختمان‌های مهم جهان گروه شمع با فلسفه‌های جدید طراحی شده‌اند، تعداد آنها زیاد نیست؛ برای مثال مؤلفین هیچ پروژه‌ی واقعی در ایران که گروه شمع در آنها با فلسفه‌ی جدید طراحی شده باشد سراغ ندارند. در ادامه‌ی تحقیق حاضر دو دیدگاه مختلف در طراحی گروه شمع -- دیدگاه سنتی و دیدگاه استفاده از شمع‌های کاهنده نشست -- تشریح می‌شود.

تحقیقات قبلی

در چند دهه‌ی گذشته، نشست گروه شمع با استفاده از داده‌های تجربی یا روش‌های ساده‌ی مبتنی بر نظریه‌ی تحکیم یک بعدی، محاسبه می‌شد. مثلاً، براساس تعداد محدودی از مشاهدات محلی، تعدادی روابط تقریبی با توجه به نشست شمع منفرد برای محاسبه‌ی نشست گروه شمع پیشنهاد شد. مطالعات فراوانی درخصوص تحلیل گروه شمع در چند دهه‌ی اخیر انجام شده است، به‌گونه‌یی که در بسیاری از مراجع به مهم‌ترین این مطالعات^{[۱] و [۵]} استناد می‌شود. در یکی از مهم‌ترین این مطالعات، دو نوع گروه شمع با سرچشم در تماس با خاک و گروه شمع با سرچشم بدون تماس با خاک مورد مطالعه قرار گرفته است^[۲]، که مبنای محاسبات آن براساس معادلات مهندسی و سازگاری نشست خاک در جداره‌ی شمع منفرد و استفاده از ضرایب

شمع یا شالوده‌ی عمیق، بار را از سطح زمین به لایه‌های عمیق منتقل می‌کند. کنترل ظرفیت باربری شمع منفرد بسیار دشوار است و نیازمند آزمون‌های برجا است. در این زمینه تحقیقات مختلفی در ایران و سایر کشورها انجام شده، و در ایران -- به طور خاص -- می‌توان به برخی تحقیقات صورت گرفته درخصوص اندازه‌گیری برجهندگی^[۱]، بارگذاری استاتیکی^[۲] و تغییر باربری با گذشت زمان^[۳] اشاره کرد. اما چون شمع‌ها عمولاً به صورت منفرد مورد استفاده قرار نمی‌گیرند، استفاده از گروه شمع می‌تواند گزینه‌ی مناسب برای اهداف مختلف مهندسی بی باشد. چون روش سنتی طراحی گروه شمع موجب افزایش هزینه‌ها می‌شود، در این تحقیق، روش‌های مختلف تحلیل و طراحی گروه شمع با سرچشم در تماس با خاک^[۲] و سرچشم بدون تماس با خاک^[۳] مورد بررسی و ارزیابی قرار می‌گیرد. در تحلیل گروه شمع، اگر سرچشم در تماس با خاک باشد قسمتی از بار وارده توسط شمع‌ها، و باقی مانده‌ی آن توسط سرچشم در تماس با خاک حمل می‌شود. لذا تحلیل دقیق گروه شمع، به خصوص در حالت سه بعدی، نسبتاً مشکل است و نیاز به ابزار محاسباتی دقیق و کالکولیره شده دارد. صرف نظر از روش تحلیل که در دو شیوه‌ی (الف) با فرض باربری سرچشم؛ ب) با فرض بدون باربری سرچشم انجام می‌شود، دیدگاه یا فلسفه‌ی طراحی هم اهمیت زیادی دارد. فلسفه‌ی جدید طراحی که در این نوشتار تشریح می‌شود -- اگرچه تأثیر زیادی در بهینه‌سازی گروه شمع دارد -- هنوز رواج زیادی ندارد. علی‌این موضوع را می‌توان چنین برشمرد: ۱) کمیود مراجع فنی و درنتیجه عدم آشنایی مهندسان حرفه‌یی با فلسفه‌های جدید طراحی؛ ۲) نیاز به مدل‌های محاسباتی قوی

سرشمع و خاک، از نظر مدل‌سازی نسبتاً پیچیده محسوب می‌شود. در سال‌های اخیر با گسترش روش‌های عددی و همچنین پیدایش رایانه‌ها با قدرت پردازش بالا، مدل‌سازی عددی بسیار مورد توجه قرار گرفته است. البته در این مورد باید توجه داشت که از نتایج روش‌های عددی نیز به تنها نمی‌توان برای طراحی استفاده کرد که علت آن گستردگی مجهولات موجود در تحلیل عددی محیط‌های کشسانی - خمیری (استوپلاستیک) است. به‌همین علت در هر مدل‌سازی عددی ابتدا نتایج حاصل از شبیه‌سازی، با نتایج حاصل از بررسی‌های انجام شده در منابع یا مطالعات آزمایشگاهی مقایسه می‌شود تا از درستی فرضیات در مدل‌سازی و همچنین عملکرد برنامه اطمینان کامل حاصل شود.

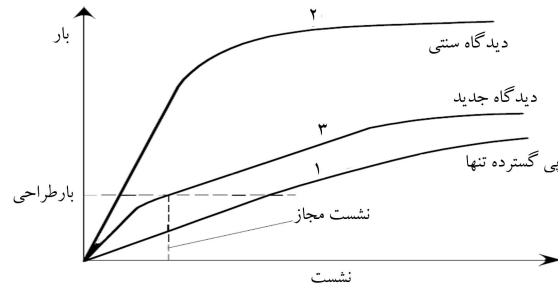
در این تحقیق نیز از روش عددی برای تحلیل محیط خاک و شمع استفاده شده است. برای تحلیل، از نرم‌افزار FLAC3D استفاده شده است^[۱] که از روش تفاضل محدود بهره می‌جوید. در این تحقیق از مدل کشسانی - خمیری موهرکولمب برای محیط خاک استفاده شده و بار به صورت گستردگی یکنواخت روی سرشاره وارد می‌شود. در تحقیق حاضر برای معرفی سرعت بارگذاری در برنامه‌ی FLAC3D از دستور SOLVE استفاده شده است که در آن (برخلاف دستور) تعداد گام‌های بارگذاری به‌طور خودکار تا رسیدن به بار نهایی تعریف می‌شود؛ به‌طوری که خطای مربوط به بار واردۀ در ابتدای بارگذاری (Unbalanced Force) و انتهای بارگذاری (پس از این که مدل ساخته شده به تعادل نیروهای داخلی رسید) به کمترین مقدار خود برسد.^[۸] در ضمن ابعاد محیط مورد تحلیل با سعی و خطا آنقدر افزایش داده شده است که بزرگ‌ترکردن ابعاد، تأثیری بر تنش‌ها و تغییر مکان‌های شمع‌ها نداشته باشد.^[۹]

بررسی اعتبار مدل

برای حصول اطمینان از صحّت عملکرد برنامه‌ی عددی در مدل‌سازی رفتار خاک و گروه شمع، مدل‌هایی از شمع منفرد، گروه شمع با سرشاره بدون تماس با خاک، و گروه شمع با سرشاره در تماس با خاک مدل‌سازی شد. با توجه به نتایج حاصل از تحلیل عددی و مقایسه‌ی آنها با نتایج سایر تحقیقات، مشخص شد که مدل‌سازی‌های انجام شده توسط برنامه از قابلیت پیش‌بینی رفتار گروه شمع و شالوده‌های شمعی در حد مطلوب برخوردار است. به عنوان مثال پاسخ بارشیت یک شمع بتنی منفرد در جا، با مقطع مربعی به ضلع 5° متر و طول 20 متر، تحت بارهای مختلف محوری مورد بررسی قرار می‌گیرد. مشخصه‌های مصالح خاک و شمع در جدول ۱ ارائه شده است. نتایج حاصل از نرم‌افزار FLAC3D و مقایسه‌ی این نتایج با مقادیر به دست آمده از روابط ارائه شده در تحقیق‌های قبلی^{[۱]، [۵]} در شکل ۲ نشان داده

جدول ۱. مشخصه‌های مصالح خاک و شمع.

خاک	شمع بتنی	متغیر
1900 kg/m^3	2500 kg/m^3	چگالی خشک
30 MPa	25000 MPa	مدول یانگ
$0/35$	$0/2$	ضریب پواسون
$33/33 \text{ MPa}$	13900 MPa	مدول حجمی
$11/11 \text{ MPa}$	10400 MPa	مدول برشی
50 kPa	-	چسبندگی
۵ درجه	-	زاویه اصطکاک داخلی



شکل ۱. منحنی «بار - نشست» فلسفه‌های مختلف طراحی گروه شمع.

اندیکشن به‌منظور تحلیل گروه شمع است. همچنین نشست ایجاد شده در خاک اطراف شمع منفرد (در فاصله‌ی ۲ از شمع) در دو حالت شمع صلب و تراکم‌بدری ناشی از بار انتقال یافته توسط نوک (پایه) و جداره شمع مورد مطالعه قرار گرفته است^[۵]. آنرا در ادامه به‌منظور تحلیل گروه شمع با استفاده از تأثیر ضرایب اندرکشن مربوط به جداره و نوک در سختی گروه شمع، نشست گروه شمع را تحت بارهای وارد محاسبه کرده‌اند.

ایده‌ی دیدگاه جدید طراحی گروه شمع برای اولین بار توسط برلن و همکاران وی^[۶] مطرح شد. آنها با درنظر گرفتن یک بی‌گستردگی و افزودن تعداد محدودی شمع در زیر مرکز پی‌گستردگی، از نشست‌های غیریکنواخت کاسته و به حذف کاسه‌ی شدن مرکز پی‌گستردگی دست یافته‌اند.^[۷] از نظر طراحی بخشی از بار کل توسط پی‌گستردگی (سرشمع) تحمل می‌شود و تمامی ظرفیت جداره در طول شمع‌ها تحت بار پهنه‌برداری بسیج می‌شوند. با بسط ایده‌های اولیه، دو فلسفه‌ی مختلف برای طراحی گروه شمع بیان شد:^[۷]

- روش سنتی که شمع‌ها به صورت گروهی برای تحمل بیشینه‌ی بارهای وارد طراحی می‌شوند، در حالی که سرشاره مقنار کمی از بار وارد را تحمل می‌کند.

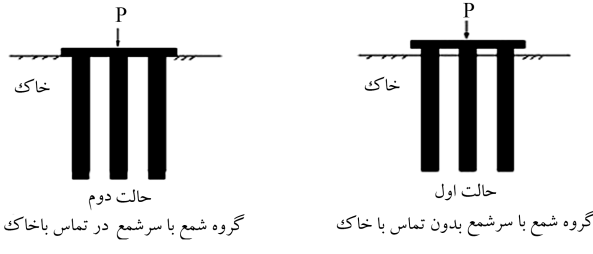
- روش شمع‌های کاهنده‌ی نشست که در آن شمع‌ها در نقاط خاصی از سرشاره (معمولًاً مرکز سرشاره) که بیشترین نشست را دارند، قرار می‌گیرند. هدف اصلی این روش کاهش نشست‌های غیریکنواخت به جای کاهش نشست کلی است.

در اینجا شکل ۱ که نشان‌دهنده رفتار «بار - نشست» گروه شمع است، برای مقایسه‌ی فلسفه‌های مختلف در طراحی تشریح می‌شود. منحنی ۱ رفتار پی‌گستردگی تنها (بدون شمع) را نشان می‌دهد. در این حالت، نشست به وجود آمده در بار طراحی بیش از حد مجاز است. بنابراین برای کاهش نشست‌های به وجود آمده از شمع استفاده می‌شود.

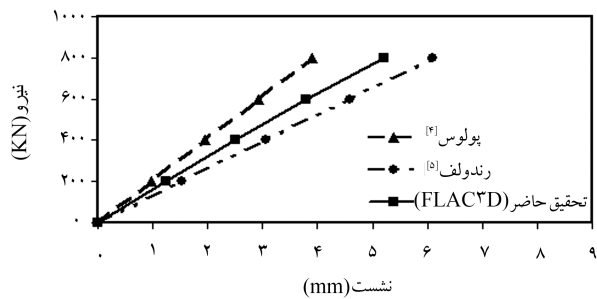
منحنی ۲ فلسفه‌ی سنتی در طراحی گروه شمع را نشان می‌دهد. در این روش گروه شمع با سرشاره در تماس با خاک، و با فرض این که بخش زیادی از بار توسط شمع‌ها تحمل می‌شوند، طراحی می‌شود. همان‌طورکه در منحنی ۲ مشاهده می‌شود، رابطه‌ی بار - نشست شمع‌هایی که با استفاده از این فلسفه طراحی می‌شوند، در بار طراحی به صورت خطی (کشسان) است. منحنی ۳ کاربرد شمع‌ها به عنوان کاهنده‌ی نشست و استفاده از تمام ظرفیت بار بری شمع‌ها در بار طراحی را نشان می‌دهد.

مدل‌سازی در تحقیق حاضر

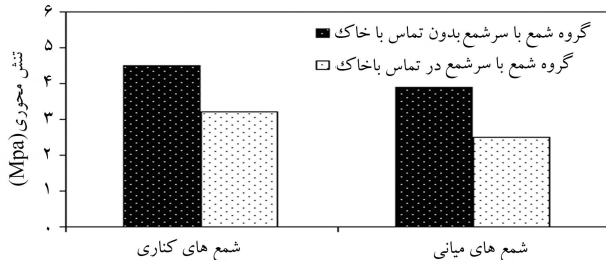
در هریک از دیدگاه‌های طراحی، به‌خصوص در فلسفه‌های جدید، ابزار محاسباتی مناسب مورد نیاز است. به‌طور کلی تحلیل سه‌بعدی گروه شمع با در نظر گرفتن تماس



شکل ۳. شماتیک گروه شمع در دو حالت سرشمیع در تماس با خاک و بدون تماس با خاک.



شکل ۲. نمودار «بار - نشست» شمع منفرد.



شکل ۴. تنش در شمع های کناری و میانی برای دو حالت گروه شمع با سرشمیع در تماس با خاک و بدون تماس با خاک.

این نوع مطالعات، به منظور دستیابی به شرایط هندسی بهینه در بهکارگیری گروه شمع با سرشمیع در تماس با خاک، ضروری است. بدین منظور تأثیر دو متغیر ابعاد سرشمیع و ضخامت سرشمیع در خاک بررسی می شود.

شده است. چنان که ملاحظه می شود نتایج به دست آمده به خوبی با هم مطابقت دارند. مقایسه های زیادی بین نتایج حاصل از FLAC3D و سایر روش ها انجام شده است.^[۴] این توضیح لازم است که مدت زمان اجرای مدل در این تحقیق بسیار طولانی بوده است. برای مثال، اجرای برنامه در حالت پی گستردگی با ۴۹ شمع در حدود ۳۰ ساعت طول می کشد.

تأثیر متغیرهای هندسی در رفتار گروه شمع

قبل از ورود به بحث مقایسه های فلسفه های طراحی، و به منظور شناخت بیشتر رفتار گروه شمع، ابتدا تأثیر تماس سرشمیع با خاک و در نظر گرفتن نقش سرشمیع در تنش ها و نشست های ایجاد شده مطالعه شده است. لازم به ذکر است که، در تمامی مدل هایی که در ادامه تشریح می شوند مشخصات مصالح خاک و شمع، برای تحلیل عددی یکسان در نظر گرفته شده اند (جدول ۱) جزئیات بیشتر در خصوص روش مدل سازی و نحوه ای اعمال بار و انتخاب المان های عددی و بررسی های بیشتر در هر یک از مدل ها ارائه شده است.^[۶]

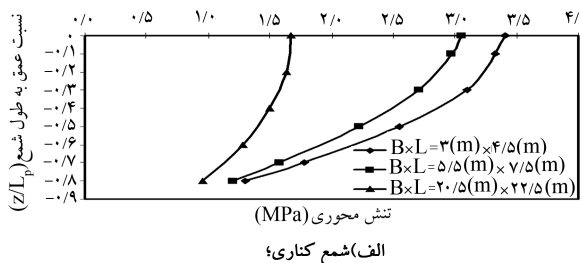
تأثیر ضخامت سرشمیع

برای بررسی تأثیر افزایش ضخامت یا صلبیت سرشمیع، دو نوع گروه شمع با سرشمیع در تماس با خاک، یکی به ابعاد $B_R \times L_R = 15m \times 15m$ و دیگری به ابعاد $B_R \times L_R = 30m \times 30m$ در نظر گرفته شده اند، به طوری که قطر و طول شمع های به کار رفته در هر دو نوع گروه شمع، به ترتیب برابر $1/2$ متر و 10 متر هستند. برای بررسی تأثیر ضخامت سرشمیع بر روی نشست ها و تنش های به وجود آمده در سیستم گروه شمع، هر یک از مدل های فوق برای دو حالت $t = 1m$ و $t = 3m$ بررسی شده اند. در هر یک از مدل ها بار $10000 kN$ به صورت گستردگی و یکنواخت در سطح سرشمیع پخش می شود. نشست های به وجود آمده در بالای شمع های $1, 2, 3, 4, 5$ برای سرشمیع با ابعاد $B_R \times L_R = 15m \times 15m$ و شمع های شماره دیگری، برای سرشمیع با ابعاد $B_R \times L_R = 30m \times 30m$ بر قائم $50000 kN$ در شکل های 5 و 6 نشان داده شده است. در ضمن در مدل سازی از خاصیت تقارن استفاده شده است.

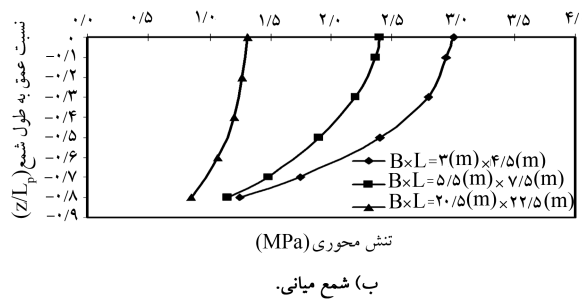
تأثیر تماس سرشمیع با خاک

برای مقایسه های تأثیر تماس سرشمیع با خاک، یک گروه شمع در دو حالت بررسی می شود. همان طور که در شکل ۳ به صورت شماتیک نشان داده شده است، در حالت اول گروه شمع با سرشمیع بدون تماس با خاک (در نظر نگرفتن نقش سرشمیع) و در حالت دوم گروه شمع با سرشمیع در تماس با خاک (در نظر نگرفتن نقش سرشمیع) است. در هر دو مدل سرشمیع به ابعاد $B_R \times L_R = 5,5m \times 7,5m$ و قطر و طول شمع های به کار رفته در گروه شمع و ضخامت سرشمیع، به ترتیب برابر $5,5$ متر، 10 متر و 1 متر هستند. در گروه شمع با سرشمیع بدون تماس با خاک فاصله ای سرشمیع از سطح زمین برابر $1,5$ متر در نظر گرفته شده است. در هر یک از مدل ها بار قائم $50000 kN$ به صورت گستردگی و یکنواخت در سطح سرشمیع پخش می شود. همان طور که در شکل ۴ مشاهده می شود، استفاده از سرشمیع در تماس با خاک و در نظر گرفتن نقش آن باعث کاهش تنش ها و نشست ها در شمع های کناری و میانی می شود. همچنین سهم بار شمع ها، در حالت گروه شمع با سرشمیع در تماس با خاک نسبت به حالت سرشمیع بدون تماس با خاک کمتر می شود. مثلاً در این مثال با مقایسه های تنش های به وجود آمده در بالای شمع ها، مشاهده می شود که 27% بار کل توسط سرشمیع در تماس با خاک تحمل می شود.

بنابراین با توجه به عملکرد مناسب سرشمیع، در ادامه تحقیق سعی شد برخی از عوامل مؤثر بر رفتار گروه شمع با سرشمیع در تماس با خاک مورد بررسی قرار گیرد.

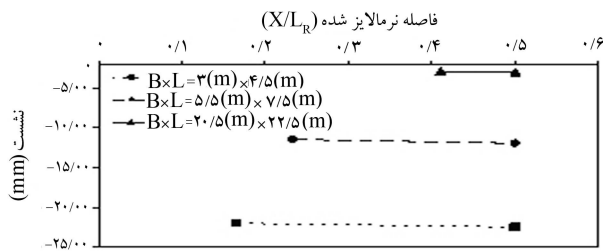


الف) شمع کناری؛



ب) شمع میانی.

شکل ۸. تنش های قائم در طول شمع ها.



شکل ۹. نشست گروه شمع در تماس با خاک.

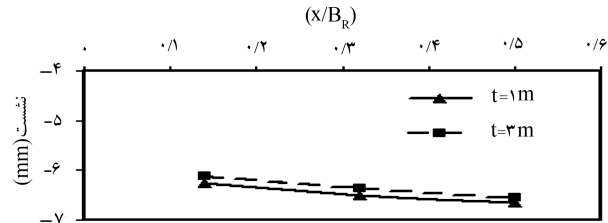
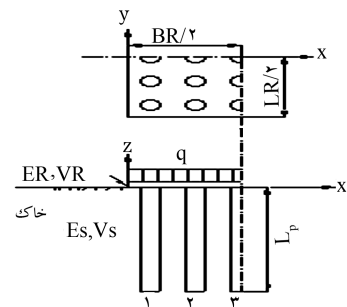
هستند. فاصله‌ی مرکز به مرکز شمع‌ها نسبت به هم برابر $1/5$ متر در نظر گرفته شده است. تعداد شمع‌های مورد استفاده در هر سه حالت برابر 2 ردیف 3 شمعی (2×3) است. در هر یک از مدل‌ها بار قائم $5000 kN$ به صورت گسترش ده و یکنواخت در سطح سرشهنج پخش می‌شود. مدل تفاضل اجزاء محدود ساخته شده در نرم‌افزار $FLAC3D$ برای حالت $B_R \times L_R = 20,5m \times 22,5m$ در شکل ۷ نشان داده شده است.

در ادامه با استفاده از نتایج تحلیل‌های انجام شده، اثر تغییر ابعاد سرشهنج در تماس با خاک بر نشست گروه شمع و نیز تنش‌های به وجود آمده در طول شمع‌ها در شکل‌های ۸ و ۹ ارائه شده است.

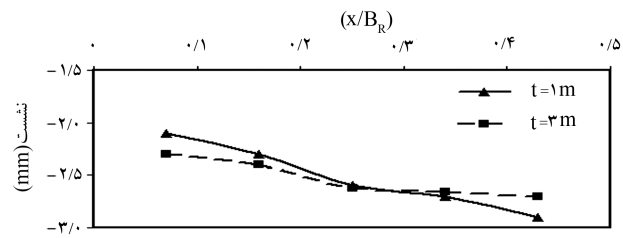
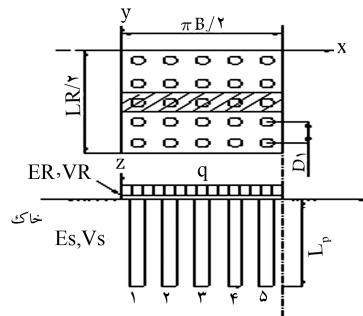
مقایسه‌ی دیدگاه‌های سنتی و جدید در طراحی گروه شمع

از آنجا که مراحل طراحی دو روش سنتی و جدید به صورت مقایسه‌یی به روشنی در مراجع نیامده، در تحقیق حاضر نخست مراحل طراحی در هر دو روش به صورت مقایسه‌یی انجام شده است. لذا جدول ۲ به منظور مقایسه و ارزیابی دیدگاه‌های مختلف (روش سنتی و روش جدید) در طراحی گروه شمع و درک بهتر مراحل طراحی در دو دیدگاه، ارائه شده است.

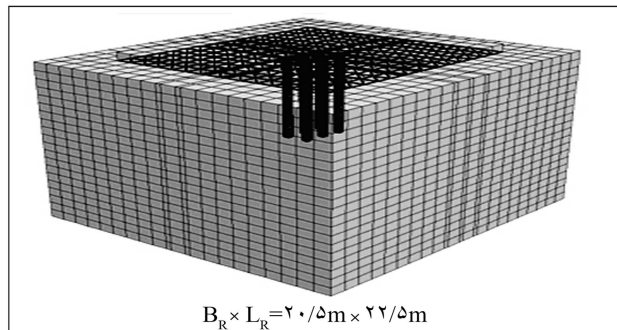
در ادامه با طرح یک مطالعه‌ی موردنی و مدل‌سازی عددی توسعه نرم‌افزار $FLAC3D$ و با در نظر گرفتن رفتار کشسانی-خمیری برای خاک، دیدگاه‌های مختلف در طراحی



شکل ۵. شکل شماتیک و نشست گروه شمع $B_R \times L_R = 15m \times 15m$ (تعداد شمع‌ها $5 \times 3 = 15$).



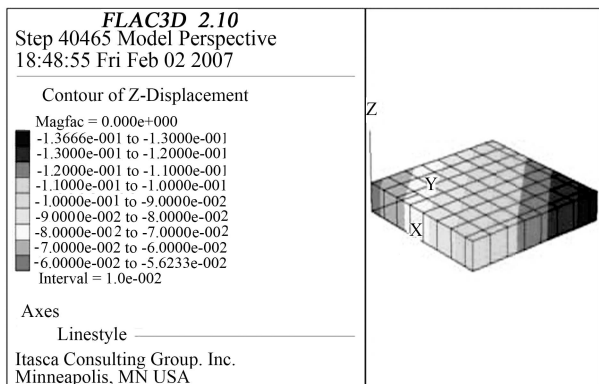
شکل ۶. شکل شماتیک و نشست گروه شمع $B_R \times L_R = 30m \times 30m$ (تعداد شمع‌ها $10 \times 15 = 150$).



شکل ۷. مدل تفاضل محدود گروه شمع با سرشهنج در تماس با خاک.

جدول ۲. مقایسه ای انجام شده در تحقیق حاضر درخصوص دیدگاه های مختلف طراحی گروه شمع.

روش جدید (شمع های کاهنده نشست)	روش سنتی	
— در نظر گرفتن پی سطحی — کنترل ظرفیت باربری — کنترل نشست (در نظر گرفتن مقدار مجاز نشست)	— در نظر گرفتن پی سطحی — کنترل ظرفیت باربری — کنترل نشست (در نظر گرفتن مقدار مجاز نشست)	گام اول
— کافی بودن ظرفیت باربری پی سطحی — نشست بیش از مقدار مجاز در پی سطحی — اضافه کردن تعداد محدودی شمع به پی سطحی (ایجاد حالات مختلف با تعداد شمع متفاوت)	— کافی بودن ظرفیت باربری پی سطحی — نشست بیش از مقدار مجاز در پی سطحی — طراحی گروه شمع	کنترل در پایان گام اول
— محاسبه بار وارد به هر یک از شمع ها — محاسبه ظرفیت باربری نهایی شمع (ها) (Q_u) — کنترل بار محاسبه شده در گام دوم با ظرفیت باربری نهایی (در حالات مختلف) — کنترل نشست گروه شمع	— محاسبه بار وارد به هر یک از شمع ها — محاسبه ظرفیت باربری مجاز شمع (ها) ($Q_{all} = Q_u/S.F$) — کنترل بار محاسبه شده در گام دوم با ظرفیت باربری مجاز — کنترل نشست گروه شمع	گام دوم کنترل در پایان گام دوم
— حداقل بودن تعداد شمع هایی که بار وارد بر آنها کمتر از حد نهایی باشد. ($Q < Q_u$)	— حداقل بودن تعداد شمع هایی که بار وارد بر آنها کمتر از حد مجاز باشد. ($Q < Q_{all}$)	شرایط بهینه بودن گروه شمع



شکل ۱۰. منحنی های هم میزان نشست پی گسترده سطحی.

جدول ۳. مشخصه های مصالح خاک و شمع.

متغیر	شمی بنی	خاک
چگالی خشک	250.0 kg/m^3	170.0 kg/m^3
مدول یانگ	2500.0 MP	13 MP
ضریب پواسون	0.2	0.3
مدول حجمی	1390.0 MP	$10/83 \text{ MP}$
مدول برشی	1040.0 MP	5 MP
چسبندگی	-	70 kPa
زاویه اصطکاک داخلی	-	5

گروه شمع مورد بررسی قرار می گیرند و در مرحله ای بعد این مقایسه توسعه داده می شود. مشخصات مصالح خاک و شمع، نظری مدول کشسانی، مدول برشی و زاویه اصطکاک داخلی به کار رفته برای تحلیل عددی مدل ها مطابق جدول ۳ در نظر گرفته شده اند.

الف) دیدگاه سنتی

در گام اول با در نظر گرفتن بار طراحی برابر $kN = 30000$ ، مطابق با گام اول، یک پی گسترده سطحی مربعی به ضلع 15 متر و ضخامت 1 متر طراحی می شود. با توجه به مشخصات خاک و با استفاده از رابطه 1 ، ظرفیت باربری در پی مربعی محاسبه می شود:

$$(1) \quad q_u = 0.867 c N_{c\gamma}$$

در نتیجه q_u و P_u به ترتیب برابر $N/m^2 = 10^3 \times 345 = 345000$ و $kN = 77625$ به دست می آید و با توجه به بار کل مقدار ضریب اطمینان برابر خواهد بود با:

$$(2) \quad S.F = \frac{P_u}{P_u} = \frac{77625}{30000} = 2.5$$

مدار نشست مجاز برابر 7 سانتی متر در نظر گرفته می شود. مدل تقاضل اجزاء محدود و منحنی های هم میزان نشست، در شکل 10 نشان داده شده است.

کنترل در پایان گام اول با توجه به ضریب اطمینان مناسب به دست آمده از رابطه 2 ، ظرفیت باربری پی گسترده برای بار موردنظر کافی است، ولی با توجه به منحنی های هم میزان نشست در شکل 10 ، نشست کل و نشست غیر یکنواخت برای پی گسترده بیش از مقدار مجاز است. درنتیجه از سیستم گروه شمع با سر شمع در تماس با خاک استفاده می شود.

مسئله حاضر برای گروه شمعی، با سر شمع مربعی به ابعاد $15 \text{ متر} \times 15 \text{ متر} \times 1 \text{ متر}$ ، ضخامت سر شمع 1 متر و شمع هایی به قطر و طول $1 \text{ متر} \times 10 \text{ متر}$ متر و تحلیل می شود. فاصله های مرکز به مرکز شمع ها نسبت به هم برابر 2 متر است. تعداد شمع های به کار رفته در این حالت (روش سنتی) برابر 7 ردیف 7 شمعی (مجموعاً 49 شمع) است. شماتیک آرایش شمع ها و مدل تقاضل اجزاء محدود در شکل 11 ارائه شده است. در گام دوم تنفس تحمل شده توسط هر یک از شمع ها با در نظر گرفتن موقعیت شمع ها (11)، در جدول 4 ارائه شده است.

برای کنترل بار محاسبه شده در انتهای مرحله دوم با ظرفیت باربری مجاز، در این مرحله ظرفیت باربری هر یک از شمع ها و نشست گروه شمع محاسبه می شود. بدین منظور ابتدا راندمان گروه شمع با استفاده از رابطه کانورس - لاباره^[10] به دست

این مشکل معمولاً در طراحی سنتی گروه شمع وجود دارد. همچنین مقدار نشست به دست آمده از مقدار مجاز (مثلًا ۷ سانتی‌متر) در اینجا کمتر است.

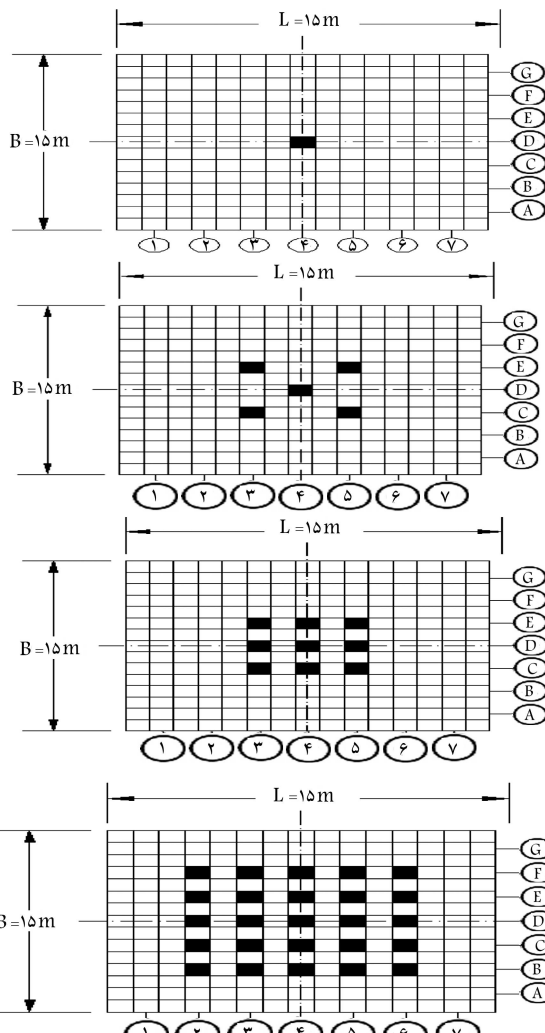
ب) شمع‌های کاوهنده نشست (دیدگاه جدید)

- در گام اول این روش همانند گام اول در روش سنتی، برای تحمل نیروی طراحی ($30000 kN$)، از یک پی گسترده سطحی مربعی به ضلع ۱۵ متر و ضخامت ۱ متر استفاده می‌شود. ظرفیت باربری و نشست به دست آمده برابر مقادیر محاسبه شده در روش سنتی است.

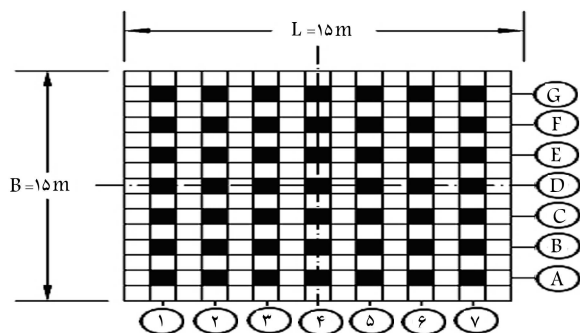
- به منظور کنترل در پایان گام اول، چون نشست به دست آمده در پی سطحی برای بار

جدول ۵. حالت‌های مختلف در طراحی به روش جدید (شموع کاوهنده نشست).

پی سطحی به همراه ۱ شمع	حالت اول
پی سطحی به همراه ۵ شمع	حالت دوم
پی سطحی به همراه ۹ شمع	حالت سوم
پی سطحی به همراه ۲۵ شمع	حالت چهارم



شکل ۱۳. پلان قرارگیری شمع‌ها در چهار حالت مختلف.

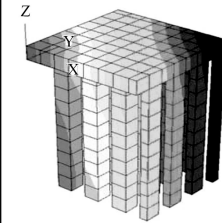


شکل ۱۱. پلان گروه شمع ۴۹ تاتی.

FLAC3D 2.10
Step 82057 Model Perspective
18:48:55 Fri Feb 02 2007

Contour of Z-Displacement
Magfac = 0.000e+000
-5.3237e-002 to -5.3000e-002
-5.3000e-002 to -5.2750e-002
-5.2750e-002 to -5.2500e-002
-5.2500e-002 to -5.2250e-002
-5.2250e-002 to -5.2000e-002
-5.2000e-002 to -5.1750e-002
-5.1750e-002 to -5.1500e-002
-5.1500e-002 to -5.1250e-002
-5.1250e-002 to -5.1000e-002
-5.1000e-002 to -5.0750e-002
-5.0750e-002 to -5.0500e-002
-5.0500e-002 to -5.0250e-002
-5.0250e-002 to -5.0000e-002
-5.0000e-002 to -4.9750e-002
-4.9750e-002 to -4.9520e-002
Interval=2.5e-004

Axes
Itasca Consulting Group, Inc.
Minneapolis, MN USA



شکل ۱۲. منحنی‌های هم‌میزان نشست گروه شمع ۴۹ تاتی.

جدول ۴. تنش در بالای هر یک از شمع‌ها در شکل ۱۱ (MPa).

۴	۳	۲	۱	
۰,۴۲	۰,۵۷	۰,۶۵	۰,۷۶	A
۰,۲۸	۰,۲۲	۰,۲۴	۰,۶۵	B
۰,۲۵	۰,۱۹	۰,۲۲	۰,۵۷	C
۰,۳۰	۰,۲۵	۰,۲۷	۰,۴۲	D

صی‌آید:

$$\eta = 1 - \left[\frac{(n_1 - 1)n_2 + (n_2 - 1)n_1}{90 n_1 n_2} \right] \theta \quad (3)$$

که در آن:

η = راندمان گروه؛

θ = در این رابطه d قطر شمع و s فاصله‌ی بین شمع‌ها

است.

n_1, n_2 = تعداد ردیف‌های شمع.

به منظور کنترل نشست گروه شمع در انتهای مرحله دوم، منحنی‌های هم‌میزان نشست در شکل ۱۲ ارائه شده است. چنان‌که ملاحظه می‌شود، نشست در مرکز سرشمع برابر ۵,۳۲ سانتی‌متر و اختلاف بین بیشترین و کم‌ترین نشست (نشست غیریکنواخت) برابر 5° سانتی‌متر است. با توجه به تنش‌های می‌ساخته شده در گام قبل (جدول ۴) و مقایسه‌ی آنها با تنش مجاز، مشاهده می‌شود که تنش‌های موجود بسیار کم‌تر از حد مجازند، و همین نکته دلیلی است بر غیر اقتصادی بودن طرح. به عبارت دیگر، در طرح موجود از تمام ظرفیت شمع‌ها استفاده نشده است.

جدول ۶. تنش در بالای شمع (MPa، حالت اول).

۴	۳	۲	۱	
-	-	-	-	A
-	-	-	-	B
-	-	-	-	C
۲/۸۵	-	-	-	D

جدول ۷. تنش در بالای شمع (MPa، حالت دوم).

۴	۳	۲	۱	
-	-	-	-	A
-	-	-	-	B
-	۱/۹۴	-	-	C
۱/۹۲	-	-	-	D

جدول ۸. تنش در بالای شمع (MPa، حالت سوم).

۴	۳	۲	۱	
-	-	-	-	A
-	-	-	-	B
۱/۱۰	۱/۸۰	-	-	C
۰/۳۴	۱/۱۰	-	-	D

جدول ۹. تنش در بالای شمع (MPa، حالت چهارم).

۴	۳	۲	۱	
-	-	-	-	A
۱/۰۴	۱/۱۰	۱/۷۰	-	B
۰/۲۵	۰/۲۶	۱/۱۰	-	C
۰/۲۴	۰/۲۵	۱/۰۴	-	D

جدول ۱۰. راندمان گروه شمع، q_u ، در هر یک از حالات.

حالات	راندمان
حالات اول: پی سطحی به همراه ۱ شمع	۱
حالات دوم: پی سطحی به همراه ۵ شمع	۰/۷
حالات سوم: پی سطحی به همراه ۹ شمع	۰/۶
حالات چهارم: پی سطحی به همراه ۲۵ شمع	۰/۵۲

جدول ۱۱. مقادیر (MPa) q_u در هر یک از حالات.

حالات	مقدار
حالات اول: پی سطحی به همراه ۱ شمع	۲/۷۵
حالات دوم: پی سطحی به همراه ۵ شمع	۱/۹۲
حالات سوم: پی سطحی به همراه ۹ شمع	۱/۶۵
حالات چهارم: پی سطحی به همراه ۲۵ شمع	۱/۴۳

جدول ۱۲. نشست سرشع برای حالات مختلف.

	نشست غیر یکنواخت	بیشترین نشست
حالات اول	۱۰/۲(mm)	۳۱/۴(mm)
حالات دوم	۸۸/۵(mm)	۱۰/۱(mm)
حالات سوم	۸۱/۴(mm)	۱/۹(mm)
حالات چهارم	۶۷/۲(mm)	۱(mm)

مذکور بیش از مقدار مجاز است، و نیز با توجه به مفهوم شمع های کاهنده نشست سعی می شود با افزایش تعداد محدودی شمع در مرکز پی سطحی (سرشع) نشست ها در محدوده مجاز قرار گیرند. در جدول ۵ حالت های مختلف برای کاهش نشست های به وجود آمده ارائه شده است.

قطر و طول شمع های مورد استفاده در تمام حالت های فوق به ترتیب برابر ۱ متر و ۱۰ متر هستند. در شکل ۱۳ محل قرارگیری شمع ها در پلان (برای هر حالت) نشان داده شده است.

- در گام دوم بار وارد بر هریک از شمع ها محاسبه می شود. با توجه به نتایج تحلیل های انجام شده توسط نرم افزار، تنش در بالای هریک از شمع ها برای حالات مختلف در جدول های ۶ تا ۹ ارائه شده است.

- برای کتربل در انتهای گام دوم (بار محاسبه شده در گام دوم با ظرفیت باربری نهایی) چنان که پیش تر نیز بیان شد، در دیدگاه جدید طراحی به شمع ها اجازه داده می شود که تنش موجود در آنها تا ظرفیت باربری نهایی واحد سطح شمع (q_u) و بدون در نظر گرفتن ضریب اطمینان، افزایش یابد. به عبارت دیگر تنش های به وجود آمده در دیدگاه جدید طراحی، باید با ظرفیت باربری نهایی واحد سطح شمع (q_u) کتربل شوند. در این مرحله ظرفیت باربری هریک از شمع ها محاسبه می شود. بدین منظور ابتدا راندمان گروه های شمع در چهار حالت با استفاده از رابطه $۳ = \frac{D}{d}$ به دست می آید. مقادیر به دست آمده برای ۶ در هریک از حالات در جدول ۱۰ ذکر شده است.

ظرفیت باربری نهایی شمع منفرد با توجه به روابط موجود در منابع مختلف، برابر $2/75 Mpa$ (ابدون ضریب اطمینان) به دست می آید. ظرفیت باربری نهایی شمع در گروه شمع از حاصل ضرب راندمان گروه (۷) در ظرفیت باربری نهایی شمع منفرد به دست می آید. نتایج به دست آمده برای ظرفیت باربری نهایی شمع در گروه شمع برای هر حالت، در جدول ۱۱ نشان داده است. با توجه به تنش های ارائه شده در جدول های ۶ تا ۹ و مقایسه آنها با مقادیر q_u (جدول ۱۱)، ملاحظه می شود که تنش موجود در بیشتر شمع های مورد استفاده نه تنها از حد تنش مجاز گذشته اند، بلکه به حد تنش نهایی رسیده اند. به عبارت دیگر از تمام ظرفیت باربری شمع ها استفاده شده است. این نکته ویژگی اصلی فلسفه جدید طراحی است.

برای کتربل نشست گروه شمع، منحنی های هم میزان نشست های به دست آمده برای حالات مختلف گروه شمع در شکل های ۱۴ تا ۱۷ نشان داده شده است. با توجه به این منحنی ها، بیشینه نشست و نیز نشست غیر یکنواخت سرشع (پی سطحی) در هر یک از حالات به طور خلاصه در جدول ۱۲ ارائه شده است.

همان طور که قبل بیان شد، نشست مجاز برابر $7cm$ است. با توجه به نتایج به دست آمده در جدول ۱۲ ملاحظه می شود که بیشینه نشست به وجود آمده به غیر از حالت اول، نزدیک به نشست مجاز است. این در حالی است که در حالت پی گستردگ نه تنها، بیشترین نشست به وجود آمده برابر $13/6 cm$ است. از طرف دیگر، نشست غیر یکنواخت (غیر از حالت اول) مقدار ناقیزی است، در حالی که در حالت پی گستردگ نه تنها، نشست غیر یکنواخت برابر $8/۰ ۴ cm$ است.

در بین حالات های مختلفی که در دیدگاه جدید طراحی گروه شمع (شماع های

کاهنده نشست) در نظر گرفته می شود، شرط بھینه بودن یک حالت را می توان

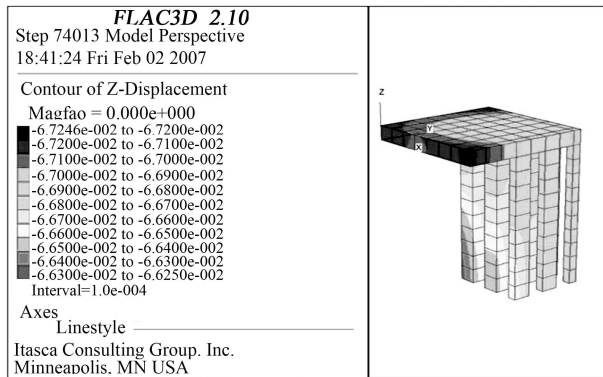
به صورت زیر بیان کرد: علاوه بر کاهش نشست های بیشینه و نشست های غیر یکنواخت،

تعداد شمع هایی که به ظرفیت نهایی خود نرسیده اند کمینه باشد. به عبارت دیگر در

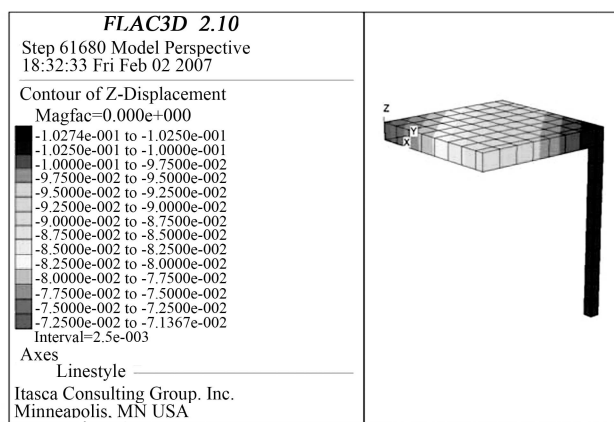
یک گروه شمع بھینه، بیشتر شمع ها به ظرفیت نهایی خود رسیده اند.

جدول ۱۳. مقایسه‌ی نتایج طراحی با استفاده از دو دیدگاه.

روش طراحی	نوع پی	نشست بیشینه (mm)	نشست غیریکنواخت (mm)	تعداد شمع‌ها کمتر از حدمجاز	تعداد شمع‌ها حدۀ مجاز و حدنهایی	تعداد شمع‌ها بین	تعداد شمع‌ها برابر یا بیش از حدنهایی
طراحی پی‌های سطحی	پی سطحی تها	۱۲۶,۶	۸۰,۴	-	-	-	-
دیدگاه سنتی طراحی گروه شمع	گروه شمع ۴۹ تایی	۵۳,۲	۳,۷	-	۴	۴۵	-
دیدگاه جدید طراحی گروه شمع (شمع‌های کاهنده‌ی نشست)	حالات اول	۱۰۲	۲۱,۴	-	-	-	۱
دیدگاه جدید طراحی گروه شمع (شمع‌های کاهنده‌ی نشست)	حالات دوم	۸۸,۵	۱۰,۱	-	-	-	۵
دیدگاه جدید طراحی گروه شمع (شمع‌های کاهنده‌ی نشست)	حالات سوم	۸۱,۴	۱,۹	۱	-	-	۴
دیدگاه جدید طراحی گروه شمع (شمع‌های کاهنده‌ی نشست)	حالات چهارم	۶۷,۲	۱	۹	۴	۱۲	۴



شکل ۱۷. منحنی‌های هم‌میزان نشست برای حالت چهارم.



شکل ۱۴. منحنی‌های هم‌میزان نشست برای حالت اول.

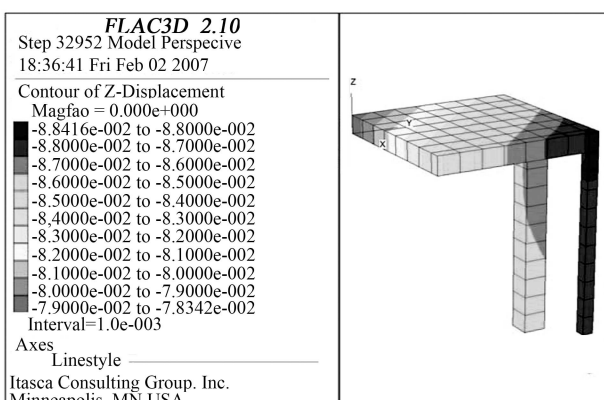
مقایسه‌ی بین نتایج دو دیدگاه مختلف طراحی در جدول ۱۳ ارائه شده است. چنان‌که مشاهده می‌شود همواره در روش سنتی به شمع‌ها اجازه داده نمی‌شود تا از تمامی ظرفیت باربری خود استفاده کنند، در حالی که در روش جدید طراحی سعی می‌شود شمع‌ها از تمام ظرفیت باربری خود استفاده کنند.

مقایسه‌ی گسترده‌تر نتایج طراحی در دو دیدگاه

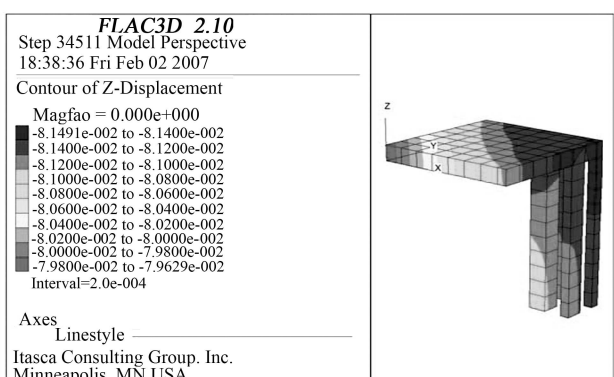
در طراحی گروه شمع، ممکن است متغیرهای مختلف هندسی و مکانیکی دخیل باشد. در این خصوص، یکی از مهم‌ترین متغیرهای تأثیرگذار «مدول برشی خاک» است. لذا در این بخش تأثیر مدول برشی خاک بر تعداد شمع‌های استفاده شده مورد بررسی قرار می‌گیرد.

بدین‌منظور مسئله‌ی فوق با ثابت نگهداشت تمامی متغیرها و تغییر مدول برشی خاک برای دو حالت ۱ و ۲، $8MPa$ و $3MPa$ ، طبق مراحل ذکر شده در جدول ۲ تحلیل و طراحی می‌شود. نتایج حاصل برای سه حالت مدول برشی خاک شکل ۱۸ مشاهده می‌شود با کاهش مقادیر (G) نشست به وجود آمده در مرکز پی گستردۀ افزایش می‌یابد، به طوری که برای حالت $G = 3MPa$ با نشست مجاز برابر ۷ سانتی‌متر، هیچ‌یک از حالات مورد قبول نیست؛ این در حالی است که با افزایش مدول برشی خاک (G) تعداد حالاتی که نشست به وجود آمده در آنها کمتر از نشست مجاز است بیشتر می‌شود.

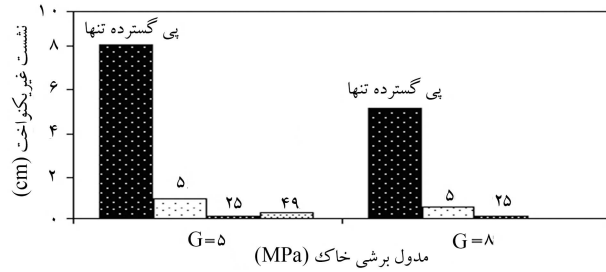
در شکل ۱۹ با درنظر گرفتن دو حالت: (الف) مدول برشی خاک برابر $5MPa$ و (ب) مدول برشی خاک برابر $8MPa$ ، تعداد شمع‌های مورد استفاده در دو دیدگاه مقایسه شده است. چنان‌که مشاهده می‌شود اختلاف تعداد شمع‌های به کار رفته



شکل ۱۵. منحنی‌های هم‌میزان نشست برای حالت دوم.



شکل ۱۶. منحنی‌های هم‌میزان نشست برای حالت سوم.



شکل ۲۱. نشست غیریکنواخت در دو دیدگاه سنتی و جدید برای در حالت $G = 5 \text{ MPa}$ و 8 MPa

نتیجه‌گیری

با فرض متغیرهای خاک در این تحقیق که متناسب با خاک‌های ضعیف تا متوسط است، نتایج حاصله برای تأثیر متغیرهای هندسی مختلف عبارت است از:

(الف) در نظر نگرفتن سهم سرشع در تحمل بارهای وارده، باعث افزایش غیرواقعی نیروهای محوری به وجود آمده در شمع ها می‌شود؛

(ب) افزایش ابعاد سرشع تأثیر زیادی در کاهش نشستهای کلی به وجود آمده و کاهش نشش محوری در شمع ها دارد؛

(ج) با فرض ثابت بودن مدول کشسانی و عدم تابعیت آن از نتشه های همه‌جانبه، نشش محوری ایجاد شده در شمع های کناری بیشتر از شمع های میانی است. بنابراین طراحی شمع های کناری در این شرایط از اهمیت بیشتری برخوردار است؛

(د) افزایش ضخامت سرشع در تماس با خاک به افزایش صلبیت سرشع و در نتیجه کاهش نشستهای غیریکنواخت در سرشع می‌انجامد.

در ادامه‌ی نوشتار ضمن مقایسه‌ی نظری دیدگاه سنتی و جدید (شماع های کاهش‌دهی نشست) مراحل محاسبات با مثالهای عددی تشریح شد و پس از مقایسه‌های انجام شده نتیجه چنین حاصل شد که:

۱. در روش سنتی نشست به وجود آمده کمتر از نشست مجاز است و استفاده از این روش طراحی بسیار محافظه‌کارانه و غیراقتصادی است. زیرا اساساً این روش طراحی، سازکار لازم برای استفاده‌ی بیشینه از بار بری شمع را فراهم نمی‌آورد.

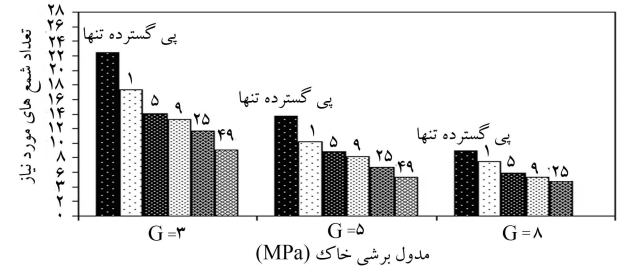
۲. روش جدید طراحی شمع ها در نقاطی استفاده می‌شود که بیشترین موجبات کاهش را در نشستهای غیریکنواخت داشته باشد.

۳. در روش سنتی به شمع ها اجازه داده نمی‌شود تا از تمامی ظرفیت بار بری نهایی خود استفاده کنند، در حالی که در روش جدید طراحی سعی می‌شود شمع ها از تمام ظرفیت بار بری خود استفاده کنند.

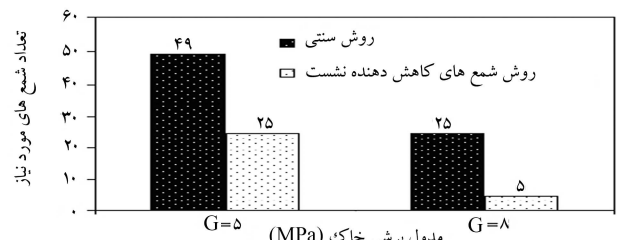
۴. با توجه به اختلاف قابل ملاحظه‌ی تعداد شمع های به کار رفته در دو دیدگاه، روش جدید طراحی گروه شمع به عنوان یک روش مناسب و اقتصادی توصیه می‌شود.

ضمن مقایسه‌ی حالت های مختلف درخصوص نتیجه‌گیری شماره ۴، جمع‌بندی می‌شود که برتری های اقتصادی فلسفه‌ی جدید طراحی در کاهش نسبی هزینه ها برای حالات زیر بیشتر است:

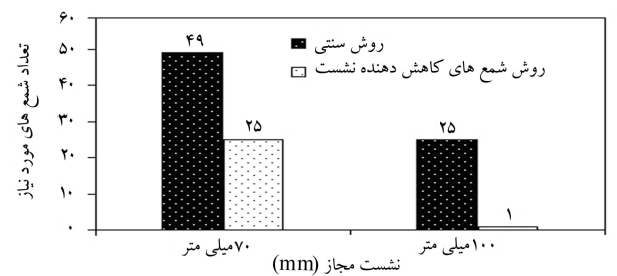
۱. خاک با سختی بیشتر؛
۲. نشست مجاز بیشتر.



شکل ۱۸. تأثیر مدل برشی خاک بر تعداد شمع های مورد نیاز



شکل ۱۹. تعداد شمع های مورد استفاده در دو دیدگاه سنتی و جدید با توجه به مدل برشی خاک.



شکل ۲۰. تأثیر انتخاب مقدار نشست مجاز در تعداد شمع ها با فرض $G = 5 \text{ MPa}$ در دو دیدگاه طراحی.

برای حالت الف در دو دیدگاه سنتی و جدید بیشتر از حالت ب است، به عبارت دیگر درصد نسبی کاهش هزینه در حالت ب بیشتر است.

از سوی دیگر یکی از عوامل مهم در انتخاب گروه شمع بهینه در نظر نگرفتن میران حساسیت سازه در مقابل نشست بیشینه و نشست غیریکنواخت است. با فرض محدودیت های سازه‌یی، مقدار نشست مجاز در محاسبات ارائه شده در بخش های قبلی برابر 7 سانتی متر فرض شد؛ حال اگر محدوده‌ی نشست مجاز کمی بیشتر شود و نشست مجاز برابر 10 سانتی متر در نظر گرفته شود (شکل ۲۰) تعداد شمع ها برای مدل برشی خاک برابر 5 MPa در دیدگاه سنتی برابر 25 و در دیدگاه جدید برابر 1 شمع است. بنابراین می‌توان گفت که درصد نسبی هزینه ها در حالت نشست مجاز 100 میلی متر کاهش یافته است.

همان طور که بیان شد شمع های کاهش‌دهی نشست نه تنها باعث کاهش کل نشستهای به وجود آمده در گروه شمع می‌شوند، بلکه نشستهای غیریکنواخت را هم بهشدت کاهش می‌دهند. شکل ۲۱ میران کاهش نشست غیریکنواخت ایجاد شده برای دو حالت: (الف) مدل برشی خاک برابر 5 MPa و (ب) مدل برشی خاک برابر 8 MPa در دو دیدگاه سنتی و جدید را نشان می‌دهد.

چنان‌که مشاهده می‌شود نشستهای غیریکنواخت در حالت $G = 8 \text{ MPa}$ کمتر از حالت $G = 5 \text{ MPa}$ است.

پانوشت

1. settlement reducing piles
2. piled raft
3. freestanding pile group

منابع

1. Yahyazade, F. and Fakher, A. "A simple method to estimate the bearing capacity of driven piles", 3rd Int. conf. Coastal, Ports and Marine Structures, Tehran, 12-14 Dec.1998, **2**, pp. 181-194 (1998).
2. Khodaparast, M. and Fakher, A. "Determination of ultimate load of piles from loading test results", Geotechnic and Material, **16**, (80), pp.12-27 (1998).
3. Hosseini, M. and Fakher, A. "Change of the bearing capacity of driven piles in fine grains soils", **16**, (61), pp.132-145, (2005).
4. Poulos, H.G and Davis, E.H. "Pile foundation analysis and design", John Wiley & Sons, p. 250, (1980).
5. Randolph, M.F.; Feleming, W.G.K.; and Weltman, A.J. "Piling engineering", John Wiley & Sons, p. 120, (1985)
6. Burland, J.B.; Broms, B.B.; and de Mello, V.F.B. "Behavior of foundations and structures", Proc. 9 ICSMFE, Tokyo, 2, pp. 495-546 (1977).
7. Randolph, M.F. "Design methods for pile groups and piled rafts", S.O.A. Report, 13 ICSMFE, New Delhi, pp. 61-82 (1994).
8. Itasca., FLAC3D, "Fast lagrangian analysis of continua in three dimensions, user's. manual", Version 2.10-224, Itasca Consulting Group, Inc. (2002).
9. Badinlou, B. "Analysis of pile and soil supported raft and the comparison of conventional and new design methods for piles group", MSC Thesis, Civil Engineering Department, Tehran University (1385).
10. Das, Braja M. "Principal of foundation engineering", John Wiley & Sons, (1941).